

ԱՆԻՉՈՏՐՈՊ ՀԻՄՆԱՏԱԿԵՐԻ ՀԱՇՎԱՐԿԻ ՄԱՍԻՆ
 Բարլոյան Ա.Հ., Բեգլարյան Ա.Գ., Շահվերդյան Գ.Ն.

О расчете анизотропных оснований

А.А. Баблоян, А.Г. Бегларян, Г.Н. Шахвердян

Разработана методика точного расчета напряжений и перемещений в анизотропных грунтах конечной толщины, сжимающихся жестким основанием сооружений.

The Account of Anisotropic Foundation

A.G.Beglaryan, A.H. Babloyan, G.N. Shahverdyan

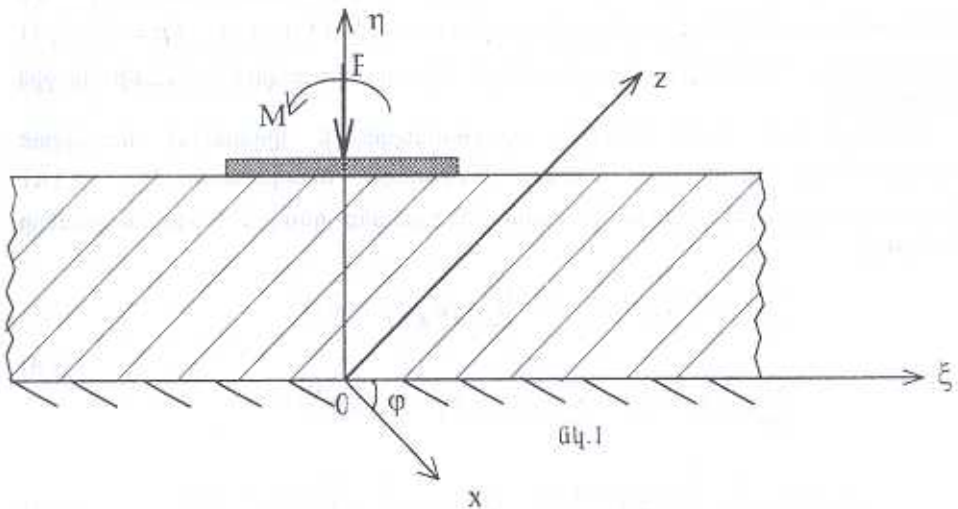
Իզոտրոպ հիմնատակերում կոնտակտային լարումների որոշման հարցերը մշակված են շատ հեղինակների կողմից [1,2]: Անիզոտրոպ հիմնատակերի համար այդ հարցերը դեռևս մնացել են քայ: Քանի որ անիզոտրոպ մարմիններում լարումների և տեղափոխումների բաշխումները էապես տարբերվում են իզոտրոպի դեպքից, այդ պատճառով անիզոտրոպ հիմնատակերում լարումների (մասնավորապես կոնտակտային) և տեղափոխումների որոշման հարցերը դառնում են հրատապ:

Աշխատանքում, գծային առաձգականության տեսության հիմքի վրա, մշակված են մարեմատիկական ճշգրիտ մեթոդներ որոշելու համար լարումները և տեղափոխությունները վերջավոր հաստության անիզոտրոպ հիմնատակերում, որոնք սեղմվում են կառույցների կոշտ հիմքերով: Ենթադրվում է, որ հիմնատակը գծորեն անիզոտրոպ է, իսկ անիզոտրոպիայի գլխավոր առանցքները չեն համընկնում հիմնատակի եզրերի հետ:

1. Խառը եզրային պայմաններով խնդիր

Մինչև կոնտակտային խնդրի լուծելը մախապես դիտարկենք հետևյալ օժանդակ խնդիրը:

Որոշել լարումներն ու տեղափոխումները ուղղագծորեն անիզոտրոպ շերտում, երբ նրա մի եզրը ամրակցված է, իսկ մյուսը՝ քննավորված է կամայական ձևով (ճկ. 1):



ճկ. 1

$$\sigma_{\eta}(\xi, h) = f(\xi), \quad \tau_{\xi\eta}(\xi, h) = g(\xi), \quad u_{\xi}(\xi, 0) = u_{\eta}(\xi, 0) = 0, \quad (-\infty < \xi < \infty) \quad (1.1)$$

Հարթ դեֆորմացիոն վիճակի դեպքում ուղղագծորեն անիզոտրոպ մարմնիների հավասարակշռության հավասարումների լուծումները ($-\infty < \xi < \infty$, $0 \leq \eta \leq h$) շերտի համար կարելի է ներկայացնել Ֆուրյեի ինտեգրալների տեսքով [3;4]:

$$\begin{aligned}
 u_{\xi} &= \int_{-\infty}^{\infty} \sum_{p=1}^4 d_p A_p(\lambda) e^{\lambda(\xi+\beta_p \eta)} d\lambda, & u_{\eta} &= - \int_{-\infty}^{\infty} \sum_{p=1}^4 e_p A_p(\lambda) e^{\lambda(\xi+\beta_p \eta)} d\lambda \\
 \sigma_{\eta} &= \int_{-\infty}^{\infty} \sum_{p=1}^4 c_p A_p(\lambda) \lambda e^{\lambda(\xi+\beta_p \eta)} d\lambda, & \sigma_{\xi} &= \int_{-\infty}^{\infty} \sum_{p=1}^4 l_p A_p(\lambda) \lambda e^{\lambda(\xi+\beta_p \eta)} d\lambda \\
 \tau_{\xi\eta} &= \int_{-\infty}^{\infty} \sum_{p=1}^4 s_p A_p(\lambda) \lambda e^{\lambda(\xi+\beta_p \eta)} d\lambda
 \end{aligned} \quad (1.2)$$

որտեղ $A_p(\lambda)$ կամայական ֆունկցիաներ են,

$$\begin{aligned}
 c_p &= \alpha_p^{-1} \cos \varphi + i \sin \varphi, & s_p &= \alpha_p^{-1} \sin \varphi - i \cos \varphi \\
 d_p &= [i\gamma_0(\alpha_p) \cos \varphi - \sin \varphi] E_0^{-1}(\alpha_p \lambda), & e_p &= [i\gamma_0(\alpha_p) \sin \varphi + \cos \varphi] E_0^{-1}(\alpha_p) \\
 \beta_p &= \frac{i\alpha_p \cos \varphi - \sin \varphi}{\alpha_p \sin \varphi - i \cos \varphi} = \frac{s_p}{ic_p}, & \delta_p &= \frac{\cos \varphi + i\alpha_p \sin \varphi}{\alpha_p \cos \varphi + i \sin \varphi} = \frac{c_p}{is_p} \\
 l_p &= \frac{1 - \alpha_p^2}{c_p \alpha_p^2} - c_p, & m_p &= \frac{1 - \alpha_p^2}{s_p \alpha_p^2} - s_p, \quad (p=1, 2, 3, 4)
 \end{aligned}$$

$$\begin{aligned}
 E_0(\alpha) &= \alpha^{-1} [c_{11} \gamma_0(\alpha) - c_{13} \alpha] = -\alpha [c_{13} \gamma_0(\alpha) - c_{33} \alpha] = c_{44} [\alpha \gamma_0(\alpha) + 1] = \\
 &= c_{44} \frac{c_{13} + \alpha^2 c_{33}}{c_{13} + c_{44}}, & \gamma_0(\alpha) &= \frac{(c_{13} + c_{44}) \cdot \alpha}{c_{11} - \alpha^2 c_{44}} = -\frac{c_{44} - \alpha^2 c_{33}}{(c_{13} + c_{44}) \cdot \alpha}
 \end{aligned} \quad (1.3)$$

Այստեղ c_{ij} անիզոտրոպ նյութի առածգական մոդուլներն են զլիսավոր ուղղությունների նկատմամբ (xoy - համակարգում), φ անիզոտրոպիայի զլիսավոր ուղղություններից մեկի և շերտի եզրերի կազմած անկյունն է, իսկ α_p ($p=1; 2; 3; 4$) երկբառակուսի հավասարման արմատներն են, որը ստացվում է (1.3)-ի վերջին առնչությունից:

Քափարարելով (1.1) եզրային պայմաններին և կիրառելով ստացված առնչությունների նկատմամբ Ֆուրյեի հակադարձ ձևափոխությունը, $A_p(\lambda)$ անհայտ ֆունկցիաների որոշման համար կստանանք գծային հավասարումների համակարգ:

$$\begin{aligned}
 \sum_{p=1}^4 c_p Z_p A_p &= \tilde{f}(\lambda), & \sum_{p=1}^4 s_p Z_p A_p &= \tilde{g}(\lambda) \\
 \sum_{p=1}^4 d_p A_p &= 0, & \sum_{p=1}^4 e_p A_p &= 0, & Z_p &= e^{\lambda \delta_p}
 \end{aligned} \quad (1.4)$$

$$\tilde{f}(\lambda) = \frac{1}{2\pi\lambda} \int_{-\infty}^{\infty} f(\xi) e^{-i\lambda\xi} d\xi, \quad \tilde{g}(\lambda) = \frac{1}{2\pi\lambda} \int_{-\infty}^{\infty} g(\xi) e^{-i\lambda\xi} d\xi \quad (1.5)$$

Ստացված (1.4) համակարգի լուծումն է

$$\Delta_0(\lambda) A_p(\lambda) = \tilde{f}(\lambda) x_{p1}(\lambda) + \tilde{g}(\lambda) x_{p2}(\lambda), \quad (p=1; 2; 3; 4) \quad (1.5')$$

$$\begin{aligned} x_{11} &= (d_3 e_4 - d_4 e_3) s_2 Z_2 + (d_4 e_2 - d_2 e_4) s_3 Z_3 + (d_2 e_3 - d_3 e_2) s_4 Z_4 \\ x_{21} &= (d_4 e_3 - d_3 e_4) s_1 Z_1 + (d_1 e_4 - d_4 e_1) s_3 Z_3 + (d_3 e_1 - d_1 e_3) s_4 Z_4 \end{aligned} \quad (1.6)$$

$$\begin{aligned} x_{31} &= (d_1 e_4 - d_4 e_2) s_1 Z_1 + (d_4 e_1 - d_1 e_4) s_2 Z_2 + (d_1 e_2 - d_2 e_1) s_4 Z_4 \\ x_{41} &= (d_3 e_2 - d_2 e_3) s_1 Z_1 + (d_1 e_3 - d_3 e_1) s_2 Z_2 + (d_2 e_1 - d_1 e_2) s_3 Z_3 \\ x_{12} &= (d_4 e_3 - d_3 e_4) c_2 Z_2 + (d_2 e_4 - d_4 e_2) c_3 Z_3 + (d_3 e_2 - d_2 e_3) c_4 Z_4 \\ x_{22} &= (d_3 e_4 - d_4 e_3) c_1 Z_1 + (d_4 e_1 - d_1 e_4) c_3 Z_3 + (d_1 e_3 - d_3 e_1) c_4 Z_4 \end{aligned} \quad (1.7)$$

$$\begin{aligned} x_{32} &= (d_4 e_2 - d_2 e_4) c_1 Z_1 + (d_1 e_4 - d_4 e_1) c_2 Z_2 + (d_2 e_1 - d_1 e_2) c_4 Z_4 \\ x_{42} &= (d_2 e_3 - d_3 e_2) c_1 Z_1 + (d_3 e_1 - d_1 e_3) c_2 Z_2 + (d_1 e_2 - d_2 e_1) c_3 Z_3 \\ \Delta_0(\lambda) &= (d_4 e_3 - d_3 e_4)(c_2 s_1 - c_1 s_2) Z_1 Z_2 + (d_2 e_4 - d_4 e_2)(c_3 s_1 - c_1 s_3) Z_1 Z_3 + \\ &\quad + (d_4 e_1 - d_1 e_4)(c_3 s_2 - c_2 s_3) Z_2 Z_3 + (d_3 e_2 - d_2 e_3)(c_4 s_1 - c_1 s_4) Z_1 Z_4 + \\ &\quad + (d_1 e_3 - d_3 e_1)(c_4 s_2 - c_2 s_4) Z_2 Z_4 + (d_2 e_1 - d_1 e_2)(c_4 s_3 - c_3 s_4) Z_3 Z_4 \end{aligned} \quad (1.8)$$

λ_2 ենք, որ $\tilde{\Delta}(\lambda) = \Delta_0(\lambda) \cdot \text{Exp}[-i\lambda \cdot \text{Im}(\beta_1 + \beta_2)]$ ֆունկցիան $\varphi = 0; \pm \pi/2$ դեպքում գույզ է և իրական λ -ի համար ընդունում է իրական արժեքներ: Մնացած դեպքերում $\tilde{\Delta}(\lambda)$ և $\Delta_0(\lambda)$ ֆունկցիաները միշտ ընդունում են կոմպլեքս արժեքներ:

Տեղադրելով $A_p(\lambda)$ ֆունկցիաների արժեքները (1.5)-(1.8)-ից (1.2) բանաձևերի մեջ, կստանանք օժանդակ խնդրի վերջնական լուծումը:

2. Ուղորկ դրոշմի ներթափանցումը անիզոտրոպ շերտի մեջ

Գիտարկենք այժմ ուղորկ կոշտ դրոշմի ներթափանցման խնդիրը գծորեն անիզոտրոպ շերտի մեջ, որի ներքևի հիմքը ամրակցված է, իսկ անիզոտրոպիայի գլխավոր ուղղություններն ունեն կամայական կողմնորոշում: Շերտի վերևի եզրը դրոշմից դուրս ազատ է արտաքին լարումներից: Գիտարկվող խնդրի եզրային պայմանները կլինեն.

$$\begin{aligned} u_\xi(\xi, 0) = u_\eta(\xi, 0) = 0, \quad \tau_{\xi\eta}(\xi, h) = 0, \quad (|\xi| < \infty) \\ u_\eta(\xi, h) = v(\xi), \quad (|\xi| \leq a), \quad \sigma_\eta(\xi, h) = 0, \quad (|\xi| > a) \end{aligned} \quad (2.1)$$

որտեղ $v(\xi)$ դիֆերենցիալի ֆունկցիա է: Նշանակենք անհայտ կոնտակտային լարումները $p(\xi)$ -ով՝

$$\sigma_\eta(\xi, h) = f(\xi) = \begin{cases} p(\xi), & (|\xi| < a) \\ 0, & (|\xi| > a) \end{cases} \quad (2.2)$$

և օգտվենք օժանդակ խնդրի լուծումից: Հաշվենք տեղափոխման վեկտորի բաղադրիչները $\eta = h$ ուղղի վրա:

Մի շարք ձևափոխություններից հետո (1.2)-ից կստանանք

$$u_\xi(\xi, h) = \int_{-\infty}^{\infty} \tilde{f}(\lambda) \frac{\Delta_2(\lambda)}{\Delta_0(\lambda)} e^{i\lambda\xi} d\lambda, \quad u_\eta(\xi, h) = - \int_{-\infty}^{\infty} \tilde{f}(\lambda) \frac{\Delta_1(\lambda)}{\Delta_0(\lambda)} e^{i\lambda\xi} d\lambda \quad (2.3)$$

որտեղ

ՄԳՊ

$$\begin{aligned} \Delta_1(\lambda) = & (d_4 e_3 - d_3 e_4)(e_2 s_1 - e_1 s_2) Z_1 Z_2 + (d_4 e_2 - d_2 e_4)(e_1 s_3 - e_3 s_1) Z_1 Z_3 + \\ & + (d_3 e_2 - d_2 e_3)(e_4 s_1 - e_1 s_4) Z_1 Z_4 + (d_4 e_1 - d_1 e_4)(e_3 s_2 - e_2 s_3) Z_2 Z_3 + \\ & + (d_3 e_1 - d_1 e_3)(e_2 s_4 - e_4 s_2) Z_2 Z_4 + (d_2 e_1 - d_1 e_2)(e_4 s_3 - e_3 s_4) Z_3 Z_4 \end{aligned} \quad (2.4)$$

$$\begin{aligned} \Delta_2(\lambda) = & (d_4 e_3 - d_3 e_4)(d_2 s_1 - d_1 s_2) Z_1 Z_2 + (d_4 e_2 - d_2 e_4)(d_1 s_3 - d_3 s_1) Z_1 Z_3 + \\ & + (d_3 e_2 - d_2 e_3)(d_4 s_1 - d_1 s_4) Z_1 Z_4 + (d_4 e_1 - d_1 e_4)(d_3 s_2 - d_2 s_3) Z_2 Z_3 + \\ & + (d_3 e_1 - d_1 e_3)(d_2 s_4 - d_4 s_2) Z_2 Z_4 + (d_2 e_1 - d_1 e_2)(d_4 s_3 - d_3 s_4) Z_3 Z_4 \end{aligned}$$

λ_2 ենթ, որ (2.3) բանաձևերում

$$M(\lambda) = \frac{\Delta_2(\lambda)}{\Delta_0(\lambda)} = M_1(\lambda) + i M_2(\lambda), \quad N(\lambda) = -\frac{\Delta_1(\lambda)}{\Delta_0(\lambda)} = N_1(\lambda) + i N_2(\lambda) \quad (2.5)$$

Ֆունկցիաները $\lambda \rightarrow \pm\infty$ դեպքում ձգտում են վերջավոր սահմանների:

$$\lim_{\lambda \rightarrow +\infty} N(\lambda) = k = k_1 + i k_2, \quad \lim_{\lambda \rightarrow +\infty} M(\lambda) = \chi = \chi_1 + i \chi_2$$

$$k = -\frac{e_2 s_1 - e_1 s_2}{c_2 s_1 - c_1 s_2}, \quad \chi = \frac{d_2 s_1 - d_1 s_2}{c_2 s_1 - c_1 s_2} \quad (2.6)$$

Բացի դա, $M_1(\lambda)$ և $N_1(\lambda)$ ֆունկցիաները կենտ են, իսկ $M_2(\lambda)$ և $N_2(\lambda)$ -ը՝ ասիմետր:

$$\begin{aligned} M(0) = N(0) = 0, \quad \beta = \operatorname{Re}(\beta_1 + \beta_2), \quad M(\lambda) - \chi = 0(e^{-\beta \lambda}) \\ N(\lambda) - k = 0(e^{-\beta \lambda}), \quad \lambda \rightarrow +\infty \end{aligned} \quad (2.7)$$

Տեղադրելով $\tilde{f}(\lambda)$ ֆունկցիայի արժեքը (1.4)-ից (2.3)-ի մեջ և հաշվի առնելով (2.5)-(2.7) հատկությունները տեղափոխման վեկտորի բաղադրիչների որոշման համար, կստանանք հետևյալ վերջնական բանաձևերը

$$\begin{aligned} u_\xi(\xi, h) = \frac{1}{\pi} \int_{-\infty}^{\infty} \left[\chi_1 \ln \operatorname{cth} \frac{\pi(\xi - x)}{4\beta h} + H_1 \left(\frac{\xi - x}{h} \right) - H_2 \left(\frac{\xi - x}{h} \right) \right] f(x) dx \\ u_\eta(\xi, h) = \frac{1}{\pi} \int_{-\infty}^{\infty} \left[k_1 \ln \operatorname{cth} \frac{\pi(\xi - x)}{4\beta h} + G_1 \left(\frac{\xi - x}{h} \right) - G_2 \left(\frac{\xi - x}{h} \right) \right] f(x) dx \end{aligned} \quad (2.8)$$

որտեղ օգտագործված են հետևյալ նշանակումները.

$$H_1(t) = \int_0^{\infty} \lambda^{-1} [M_1(\lambda) - \chi_1 \operatorname{th} \beta \lambda] \cos \lambda t d\lambda$$

$$H_2(t) = 0.5\pi \chi_2 \operatorname{sign} t + \int_0^{\infty} \lambda^{-1} [M_2(\lambda) - \chi_2] \sin \lambda t d\lambda \quad (2.9)$$

$$G_1(t) = \int_0^{\infty} \lambda^{-1} [N_1(\lambda) - k_1 \operatorname{th} \beta h] \cos \lambda t d\lambda$$

$$G_2(t) = 0.5\pi k_2 \operatorname{sign} t + \int_0^{\infty} \lambda^{-1} [N_2(\lambda) - k_2] \sin \lambda t d\lambda,$$

(2.8) և (2.9) բանաձևերը ստանալիս օգտագործվել է հետևյալ ինտեգրալի արժեքը [5]:

$$\int_0^{\infty} x^{-1} \operatorname{th} \beta x \cdot \cos ax \, dx = \ln \operatorname{cth} \frac{\pi|a|}{4\beta}, \quad (\operatorname{Re} \beta > 0) \quad (2.10)$$

Նշենք, որ (2.9) ֆունկցիաները $t \rightarrow \infty$ դեպքում ձգտում են զրոյի էքսպոնենտի օրենքով, H_1 և G_1 ֆունկցիաները անընդհատ են ամենուրեք, իսկ H_2 և G_2 ֆունկցիաները $t = 0$ կետում ունեն վերջավոր բռիչքներ համապատասխանաբար $\pi\chi_2$ և πk_2 չափերով:

Բավարարենք սյժմ (2.1)-ի $u_n(\xi, h) = v(\xi)$ պայմանին հաշվի առնելով մակ (2.2): Այնուհետև արտապատկերելով $|\xi| \leq a$ տիրույթը $|y| \leq 1$ -ի վրա, անհայտ կոնտակտային լարումների որոշման համար կստանանք առաջին սեռի սինգուլյար ինտեգրալ հավասարում.

$$\int_{-1}^1 \left[\chi_1 \ln \operatorname{cth} \frac{\pi|z|}{4\beta} + G(z) \right] p_0(y) \, dy = v_0(x), \quad |x| \leq 1 \quad (2.11)$$

որտեղ կատարված են հետևյալ նշանակումները

$$G(z) = G_1(z) - G_2(z), \quad z = \frac{x-y}{\mu}, \quad \mu = \frac{h}{a}, \quad p_0(y) = p_0(ay), \quad v_0(x) = \frac{\pi}{a} v(ax) \quad (2.12)$$

(2.11) ինտեգրալ հավասարման ռեգուլյար մասում մասնակցող $G_2(z)$ կենտ ֆունկցիայի առկայության պատճառով մույնիսկ համաչափ բեռան տակ անիզոտրոպ հիմքին սեղմվելուց կոշտ դրոշմը կթեքվի $\theta = \theta(\mu, c_{ij})$ անկյունով: Իսկ (2.8)-ի առաջին բանաձևից հետևում է, որ դրոշմը կտեղափոխվի մակ հորիզոնական ուղղությամբ:

(2.11) սինգուլյար ինտեգրալ հավասարումը գծային հանրահաշվական անվերջ համակարգի բերելու նպատակով կօգտվենք [6] գրքում ստացված սպեկտրալ բանաձևից.

$$\int_{-1}^1 \ln \left| \operatorname{cth} \frac{\pi|x-y|}{4\beta\mu} \right| \frac{T_n(Y) \, dy}{\sqrt{\operatorname{ch} 2r - \operatorname{ch} 2ry}} = \mu_n T_n(x), \quad (n = 0; 1; 2 \dots) \quad (2.13)$$

որտեղ օգտագործված են հետևյալ նշանակումները

$$r = \frac{\pi}{2\beta\mu}, \quad Y = -\cos s_0, \quad X = -\cos t_0, \quad \mu_0 = \frac{\pi\sqrt{2}}{re'} K(e^{-2r})$$

$$\mu_n = \frac{\sqrt{2}}{nre'} K'(e^{-2r}) \operatorname{th} \left[\frac{\pi n K(e^{-2r})}{K'(e^{-2r})} \right], \quad (n = 1; 2 \dots)$$

$$s_0 = \frac{\pi}{K'(e^{-2r})} F \left(\arcsin \sqrt{\frac{e^{2r} - e^{-2ry}}{2\operatorname{sh} 2r}}, \sqrt{1 - e^{-4r}} \right) \quad (2.14)$$

$$t_0 = \frac{\pi}{K'(e^{-2r})} F \left(\arcsin \sqrt{\frac{e^{2r} - e^{-2rx}}{2\operatorname{sh} 2r}}, \sqrt{1 - e^{-4r}} \right)$$

$$\varepsilon_m = \frac{\sqrt{2}}{2re'} K'(e^{-2r}) [1 + \delta_{0,m}]$$

Այստեղ $T_n(x)$ Չեբիշևի առաջին սեռի բազմանդամն է, $K(x), K'(x), F(\varphi, x)$ էլիպտիկ ինտեգրալներն են [5], իսկ $\delta_{p,m}$ Կրոնոկերի սիմվոլը:

Անհայտ կոնտակտային $p_0(x)$ լարումը ներկայացնենք Ֆուրյեի շարքի տեսքով՝ ըստ Չեբիշևի բազմանդամների [6]:

$$p_0(x) = (\text{ch}2r - \text{ch}2rx)^{-1/2} \sum_{k=0}^{\infty} p_k T_k(X), \quad (|x| < 1) \quad (2.15)$$

Տեղադրենք $p_0(x)$ ֆունկցիայի արժեքը (2.15)-ից (2.11) հավասարման մեջ և օգտվենք (2.13) բանաձևից: Մի շարք ձևափոխություններից հետո անհայտ p_k Ֆուրյեի գործակիցների որոշման համար կստանանք զծային հավասարումների անվերջ համակարգ.

$$d_m p_m + \sum_{k=0}^{\infty} e_{k,m} p_k = f_m, \quad (m = 0; 1; 2 \dots) \quad (2.16)$$

որտեղ

$$d_m = k_1 \cdot \mu_m \cdot \varepsilon_m, \quad f_m = \int_{-1}^1 \frac{v_0(x) T_m(X) dx}{\sqrt{\text{ch}2r - \text{ch}2rx}} \quad (2.17)$$

$$e_{k,m} = \int_{-1}^1 \int_{-1}^1 \frac{G(z) T_m(X) dx \cdot T_k(Y) dx dy}{\sqrt{(\text{ch}2r - \text{ch}2rx)(\text{ch}2r - \text{ch}2ry)}}$$

Անվերջ համակարգը ստանալիս օգտագործվել է նաև Չեբիշևի (2.13) բազմանդամների օրթոգոնալության պայմանը [6]:

$$\int_{-1}^1 \frac{T_m(X) T_k(X) dx}{\sqrt{\text{ch}2r - \text{ch}2rx}} = \varepsilon_m \delta_{m,k}, \quad (m, k = 0; 1; 2 \dots) \quad (2.18)$$

Օգտագործելով Պարսեվալի հավասարումը Ֆուրյեի կրկնակի շարքերի համար

$$\sum_{k,m=0}^{\infty} \frac{e_{k,m}}{\varepsilon_k \varepsilon_m} = \int_{-1}^1 \int_{-1}^1 \frac{G^2(z) dx dy}{\sqrt{(\text{ch}2r - \text{ch}2rx)(\text{ch}2r - \text{ch}2ry)}}$$

ղծվար չէ ապացուցել, որ (2.16) համակարգը $\mu > \bar{\mu}_0$ դեպքում լիովին ռեզոլյար է, որտեղ $\bar{\mu}_0$ կախված է հիմնատակի անիզոտրոպիայի գործակիցներից և φ անկյունից:

Օգտվելով (2.2), (2.12) և (2.15) բանաձևերից հաշվենք կոշտ դրոշմի վրա ազդող ուժերի համագործը և մոմենտը:

$$P = \int_{-a}^a f(\xi) d\xi = a \int_{-1}^1 p_0(x) dx = a \varepsilon_0 p_0, \quad w_k = \int_{-1}^1 \frac{x T_k(X) dx}{\sqrt{\text{ch}2r - \text{ch}2rx}} \quad (2.19)$$

$$M = \int_{-a}^a \xi f(\xi) d\xi = a^2 \int_{-1}^1 x p_0(x) dx = a^2 \sum_{k=1,3,5}^{\infty} p_k w_k$$

Դրոշմի հորիզոնական ուղղությամբ տեղափոխման չափը կորոշվի (2.8)-ի առաջին բանաձևի օգնությամբ:

Եթե դրոշմի ծայրակետերի փոքր շրջակայքերում անհայտ կոնտակտային լարումները ներկայացնենք նյութերի փխրուն քայքայման տեսության հայտնի բանաձևերով՝

$$p_0(x) = \frac{K(\pm 1)}{\sqrt{1 \mp x}}, \quad |x| < 1, \quad x \approx \pm(1-0),$$

ապա եզակիության գործակիցների որոշման համար (2.14) և (2.15)-ից կստանանք հետևյալ բանաձևերը:

$$K(-1) = (2rsh2r)^{-0.5} \sum_{k=0}^{\infty} (-1)^k p_k, \quad K(+1) = (2rsh2r)^{-0.5} \sum_{k=0}^{\infty} p_k$$

Այստեղից հետևում է, որ դրոշմի ծայրակետերում կոնտակտային լարումների եզակիությունների գործակիցների արժեքները կախված են հիմնատակի անիզոտրոպիայի գործակիցներից (c_{ij}), անիզոտրոպիայի գլխավոր ուղղություններից (φ) և դրոշմի հարաբերական լայնությունից (μ):

Որպես օրինակ դիտարկված է ուղրկ կոշտ դրոշմի ներթափանցման խնդիրը գծորեն անիզոտրոպ շերտի մեջ, երբ շերտի ներքևի հիմքը ամրակցված է, վերևի եզրը դրոշմից դուրս ազատ է արտաքին լարումներից, իսկ դրոշմի վրա ազդում են P կենտրոնացած ուժը և M մոմենտը (ճկ. 1): Դրոշմի հիմքն ունի քառակուսի պարաբոլի տեսք

$$c_{44}v(\xi) = a_1 + b_1\xi + c_1\xi^2, \quad \xi = ax$$

որտեղ a_1 , b_1 , c_1 -կամայական հաստատումներ են: Հիմքի բարձրությունը $h=1$, դրոշմի լայնությունը $2a=0.25$, իսկ անիզոտրոպ նյութի առաձգական մոդուլներն են (անիզոտրոպիայի գլխավոր առանցքների oxy նկատմամբ):

$c_{11} = 15.51\chi$, $c_{13} = 8\chi$, $c_{33} = 13.6\chi$, $c_{44} = 2.9\chi$, $\chi = 10^5 \text{ կրց/սմ}^2$
(2.16) համակարգի անհայտները ներկայացվել են

$$p_k = a_1x_k + b_1ay_k + c_1a^2t_k, \quad (k=0;1;2;\dots)$$

տեսքով: Հաշվարկները կատարվել են անիզոտրոպիայի գլխավոր առանցքների տարբեր ուղղությունների համար $\varphi = k\pi/8$, ($k=0;1;2;3;4$):

Հաշված են P ուժի, M մոմենտի և եզակիության $K(\pm 1)$ գործակիցների արժեքները արտահայտված a_1 , b_1 և c_1 պարամետրերով: Յուրաքանչյուր դեպքի համար հաշված է նաև դրոշմի միջին կետի հորիզոնական տեղափոխման չափը ($u_\xi(0, h)$):

$$\varphi = 0$$

$$P = 8.3014a_1 + 0.0643c_1, \quad M = 0.1426b_1, \quad c_{44}u_\xi(0, h) = -0.10876b_1$$

$$K(-1) = 14.708a_1 - 4.1076b_1 + 0.6193c_1$$

$$K(+1) = 14.708a_1 + 4.1076b_1 + 0.6193c_1$$

$$\varphi = \pi/2$$

$$P = 0.8379a_1 + 0.0065c_1, \quad M = 0.0140b_1, \quad c_{44}u_\xi(0, h) = -0.0349b_1$$

$$K(-1) = 1.4813a_1 - 0.4033b_1 + 0.0610c_1$$

$$K(+1) = 1.483a_1 + 0.4033b_1 + 0.0610c_1$$

$$\varphi = \pi/8$$

$$P = 2.5450a_1 + 0.1003b_1 + 0.0221c_1, \quad M = -0.1003a_1 + 0.0480b_1 + 0.0008c_1$$

$$K(-1) = 12.895a_1 - 2.8340b_1 + 0.3670c_1$$

$$K(+1) = 2.4333a_1 + 0.5422b_1 + 0.1596c_1$$

$$c_{44}u_\xi(0, h) = -0.7299a_1 - 0.0725b_1 - 0.0058c_1$$

$$\varphi = \pi/4$$

$$P = 1.2268a_1 - 0.0310b_1 + 0.0100c_1, \quad M = 0.0309a_1 + 0.0231b_1 - 0.0002c_1$$

$$K(-1) = 1.2392a_1 - 0.4104b_1 + 0.0784c_1$$

$$K(+1) = 4.2661a_1 + 1.0380b_1 + 0.1410c_1$$

$$c_{44}u_\xi(0, h) = -0.4721a_1 - 0.0174b_1 - 0.0017c_1$$

$$\varphi = 3\pi/8$$

$$P = 0.9085a_1 - 0.0105b_1 + 0.0071c_1, \quad M = 0.0105a_1 + 0.0158b_1 - 0.0001c_1$$

$$c_{44}u_\xi(0, h) = -0.2336a_1 - 0.0044b_1 - 0.0013c_1$$

$$K(-1) = 1.2014a_1 - 0.3698b_1 + 0.0600c_1$$

$$K(+1) = 2.1922a_1 + 0.5552b_1 + 0.0799c_1$$

Դրոշմի նստվածքի շափը որոշվում է a_1 և c_1 գործակիցներով, իսկ բերանի անկյունը՝ b_1 գործակցով ($\operatorname{tg}\theta = b_1 / c_{44}$):

Ստացված արդյունքները կարելի է օգտագործել երկրաշարժի ազդեցության դեպքում կառույցների հաշվարկների ժամանակ, օգտագործելով ժամանակակից գեոմեխանիկական գերճզգրիտ շափումների արդյունքները [7]:

ЛИТЕРАТУРА

1. Мусхелишвили Н.И. Некоторые основные задачи математической теории упругости. М.: Наука, 1966. 647с.
2. Агаловян Л.А. Асимптотическая теория анизотропных пластин и оболочек. М.: Наука, 1997. 415с.
3. Бегларян А.Г., Баблоян А.А. Изгиб анизотропной полосы. //Изв. НАН РА. Механика. 2003. Т. 56. №4. С. 29-38.
4. Лехницкий С.Г. Теория упругости анизотропных тел. М.: Наука, 1977. 415с.
5. Рыжик И.М., Градштейн И.С. Таблицы интегралов, сумм, рядов и произведений. М.: Наука. 1971. 1100 с.
6. Александров В.М., Мхитарян С.М. Контактные задачи для тел с тонкими покрытиями и прослойками. М.: Наука, 1983. 488с.
7. Бегларян А.Г. Разработка и совершенствование методов и приборов для автоматизации геодезических деформационных измерений инженерных сооружений и разломов земной коры./Дисс. на соиск. уч. ст. докт. тех. наук. Ереван. 1997. 104с.